

# Modélisation multiphysique de la cuisson du pain

Christophe Doursat, AgroParisTech

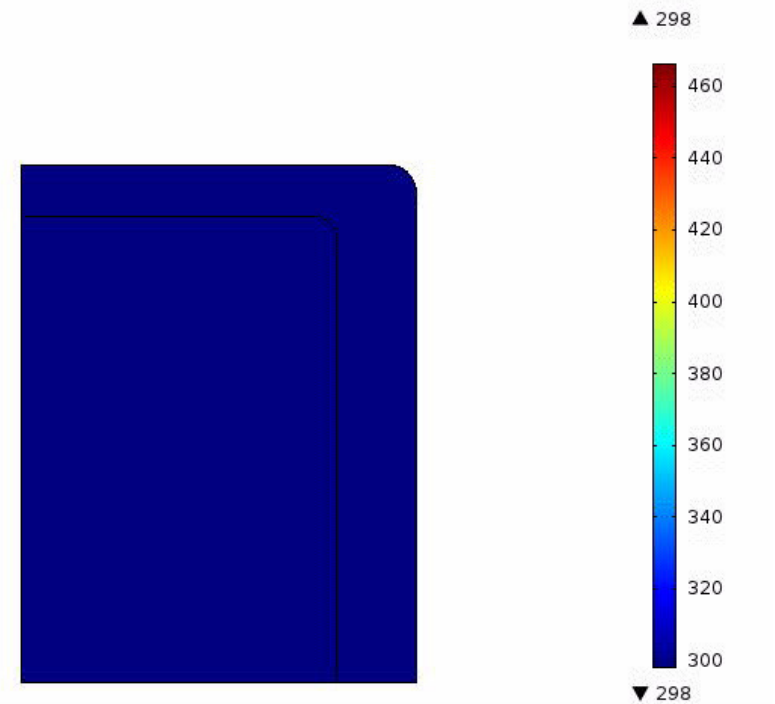
Denis Flick, AgroParisTech

David Grenier, IRSTEA

Tiphaine Lucas, IRSTEA

Vincent Nicolas, IRSTEA

Camille Michon, AgroParistech



**Société Française de Thermique**

**Groupe « Thermique Appliquée »**

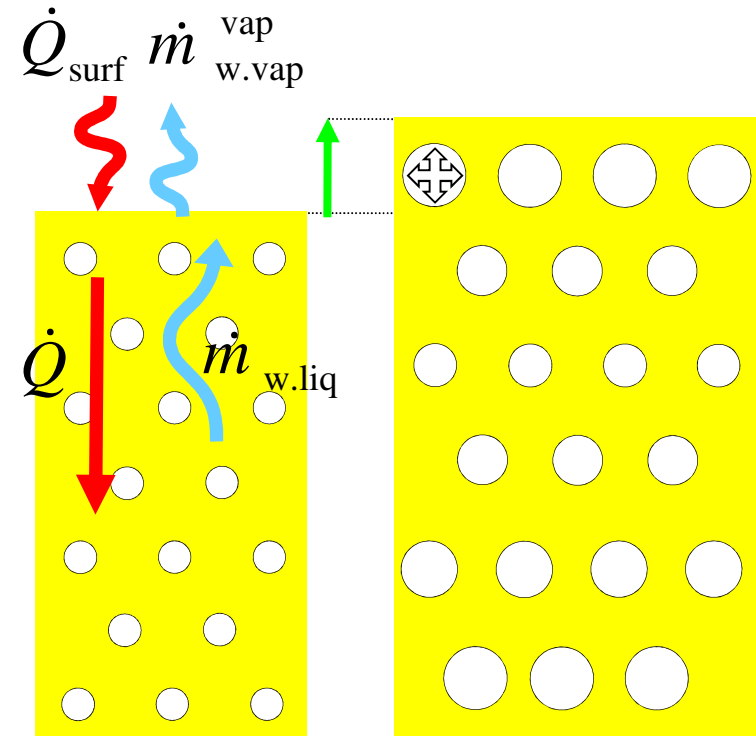
**4 novembre 2016**



# Introduction

## Principaux mécanismes (1)

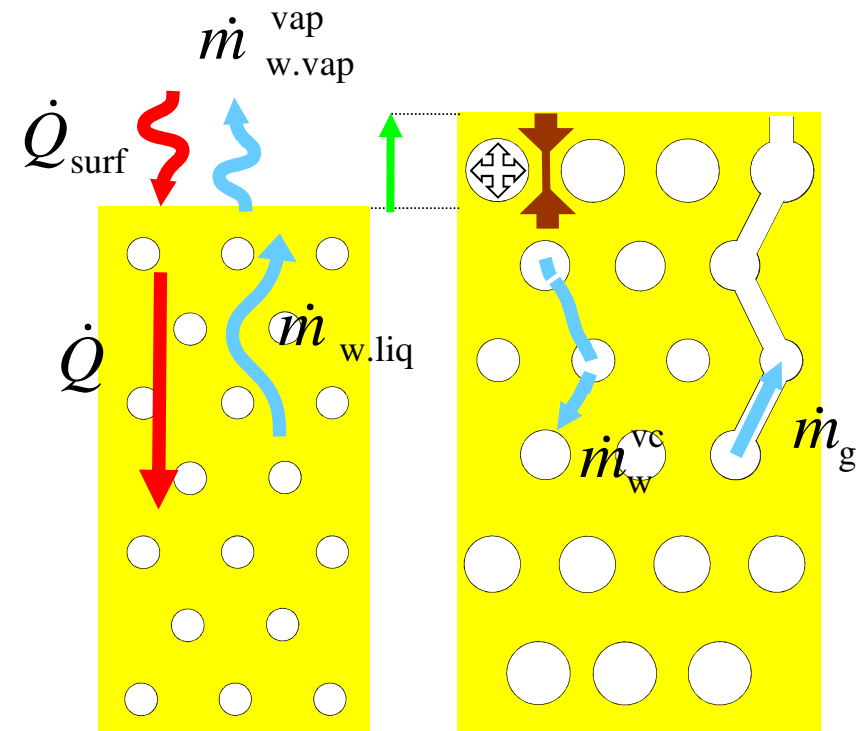
- Échauffement de la surface et évaporation de l'eau à la surface
- Transport de la chaleur par diffusion de la surface au cœur
- Transport de l'eau liquide du cœur à la surface
- Augmentation de la pression
- Déformation du produit



# Introduction

## Principaux mécanismes (2)

- f) Contraintes dans la pâte freinent l'expansion
- g) Transport de l'eau par évapo-condensation-diffusion
- h) Ouverture de la porosité
- i) Migration de la phase gazeuse





# Plan

1/ Modèle

2/ Validation expérimentale

3/ Interprétations

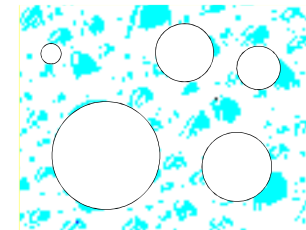
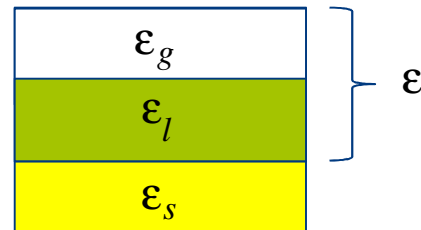
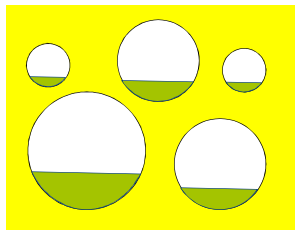


# 1/ Modèle

## 1.1/ Principales hypothèses et notations (1)

Régime transitoire

Approche des milieux continus :



Volume élémentaire  
représentatif

→ milieu continu diphasique

→ toutes les variables sont continues dans le milieu poreux

**Références:** Lucas, T ; Doursat, C. ; Grenier, D. ; Wagner, M.; Trystram, G., Flick, D. **2015**. Modeling of bread baking with a new, multi-scale formulation of evaporation-condensation-diffusion and evidence of compression in the outskirts of the crumb. **J. Food Engineering**.

Nicolas, V., Vanin, F., Doursat, C., Grenier, D., Lucas, T., Flick, D., 2014. Modelling bread baking with focus on global and local deformation. **AICHE J.**

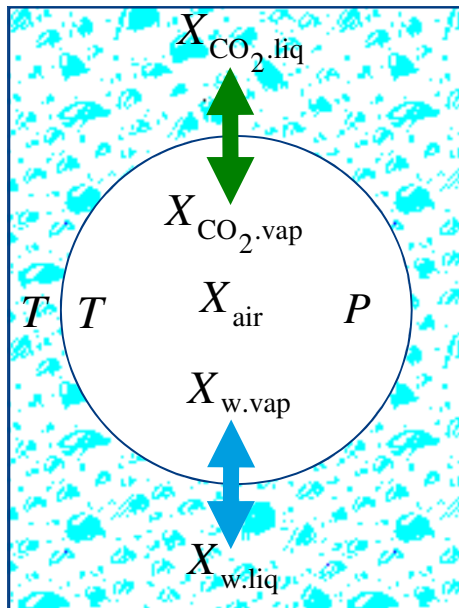


# 1/ Modèle

## 1.1/ Principales hypothèses et notations (2)

|             |               |  |
|-------------|---------------|--|
| Notations : | $\beta$       | kg matière sèche / m <sup>3</sup> pâte |
|             | $\varepsilon$ | porosité                               |
|             | $X_\alpha$    | kg $\alpha$ / matière sèche            |

Équilibre local et équations d'état :



$$P_w(X_{w.liq}, T) = a_w(X_{w.liq}, T) P_{v.sat}(T) = \frac{\beta RT}{\varepsilon} \frac{X_{w.vap}}{M_w}$$

Solubilisation du CO<sub>2</sub> : loi de Henry

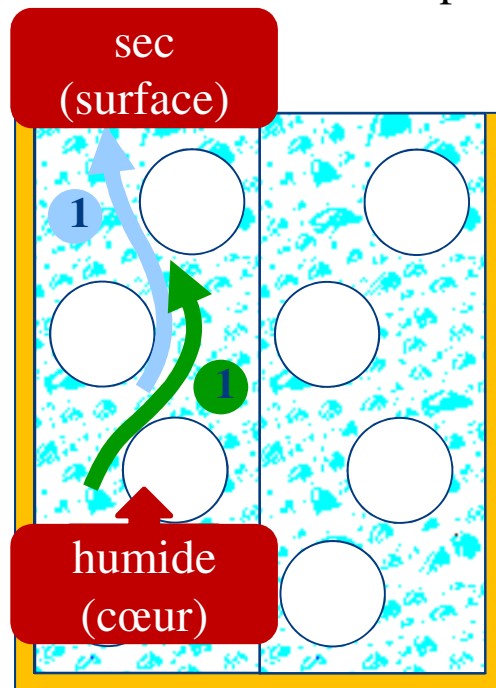
$$P_{CO_2} = \frac{X_{CO_2.liq}}{M_{CO_2} S_{CO_2} X_{w.liq}} T = \frac{1 - \varepsilon}{\varepsilon} \frac{\beta X_{CO_2.vap}}{M_{CO_2}} RT$$

$$\hat{H} = \left( C_{p.ms} + \sum_{\alpha} X_{\alpha} C_{p.\alpha} \right) (T - T_{ref}) + X_{w.vap} L_w + X_{CO_2.vap} L_{CO_2}$$

# 1/ Modèle

## 1.2/ Transferts de matière (1)

Diffusion dans la phase liquide



$$\vec{m}_{wl} = -D_{wl} \vec{\nabla} X_{wl} \quad 1$$

$$\vec{m}_{cl} = -D_{cl/wl} \vec{\nabla} X_{cl} \quad 1$$

$$D_{wl} = 10^{-6} \exp((-2,8 + 2X_{wl}) \epsilon_g)$$

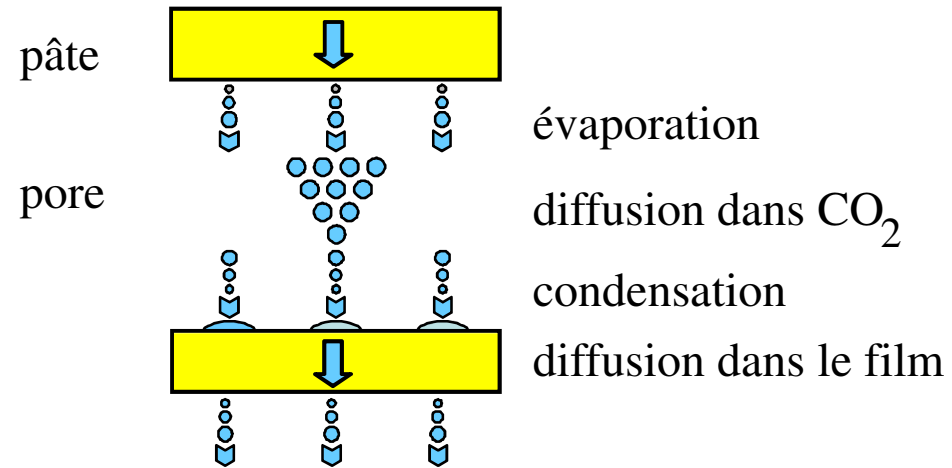
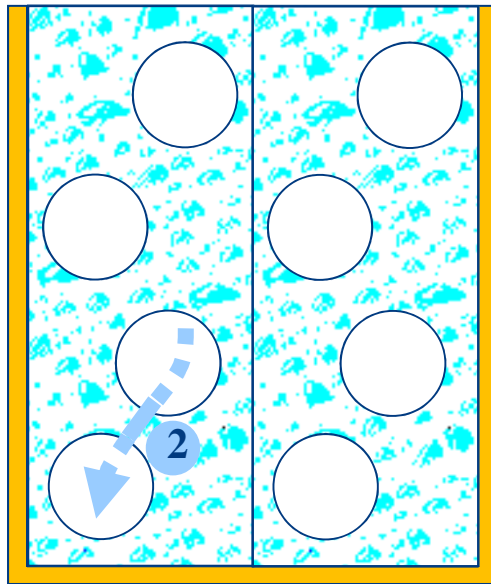
(Zhang and Datta, 2006)

$$D_{cl/wl} = 2.8 \cdot 10^{-9} \frac{\epsilon_l}{\tau}$$

# 1/ Modèle

## 1.2/ Transferts de matière (2)

Porosité fermée : évapo-condensation-diffusion



Hypothèses :

- on se place à l'échelle d'une bulle
- en régime permanent
- transferts 1D



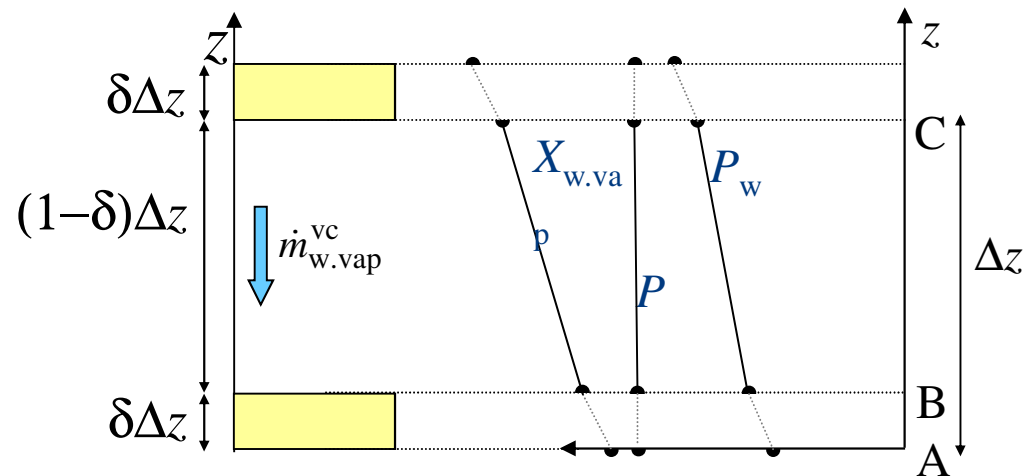
# 1/ Modèle

## 1.2/ Transferts de matière (2)

Porosité fermée : évapo-condensation-diffusion

Dans la bulle : diffusion mutuelle des deux espèces

$$\left\{ \begin{array}{l} \frac{\dot{m}_{w.vap}}{M_w} = x_{w.vap} C v^* - D_{vap} C \frac{\partial x_{w.vap}}{\partial z} \\ \frac{\dot{m}_{CO_2.vap}}{M_{CO_2}} = x_{CO_2.vap} C v^* - D_{vap} C \frac{\partial x_{CO_2.vap}}{\partial z} \end{array} \right.$$



# 1/ Modèle

## 1.2/ Transferts de matière (2)

Porosité fermée : évapo-condensation-diffusion

Dans la bulle : diffusion mutuelle des deux espèces

Le CO<sub>2</sub> étant immobile

$$\dot{m}_{w.vap} = -\frac{M_w}{1 - x_{w.vap}} D_{vap} C \frac{\partial x_{w.vap}}{\partial z}$$

ou

$$\dot{m}_{w.vap}^{vc} = -\frac{M_w}{RT} \frac{D_{vap}}{1 - x_{w.vap}} \frac{\partial P_w}{\partial z}$$

$$\dot{H}^{vc} = \dot{m}_w^{vc} (C_{p_{w.vap}} (T - T_{ref}) + L_{w.ref})$$

# 1/ Modèle

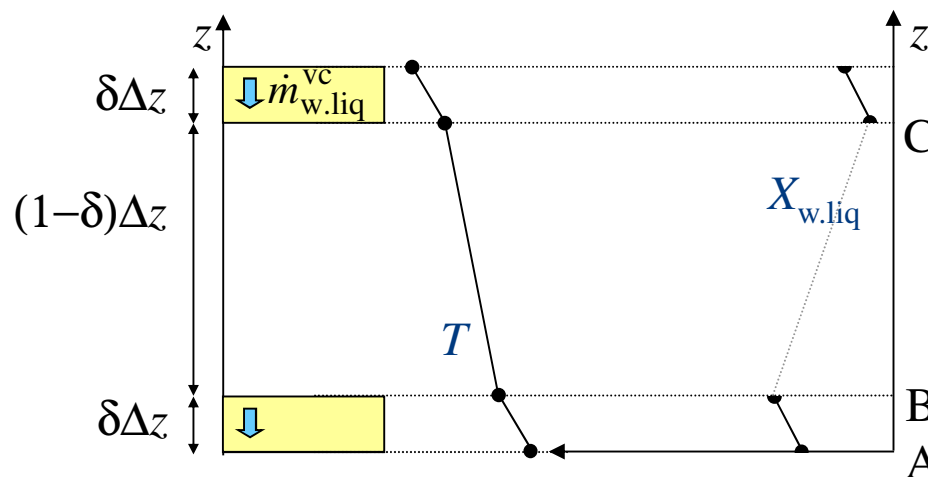
## 1.2/ Transferts de matière (2)

Porosité fermée : évapo-condensation-diffusion

Dans le film de pâte :

$$\dot{m}_{w.liq}^{vc} = -\rho_{w.liq} D_{liq} \frac{\partial X_{w.liq}}{\partial z}$$

$$\dot{Q} + \dot{H}^{vc} = -\lambda \frac{\partial T}{\partial z} + \dot{m}_{w.liq}^{vc} C_{p_{w.liq}} (T - T_{ref})$$

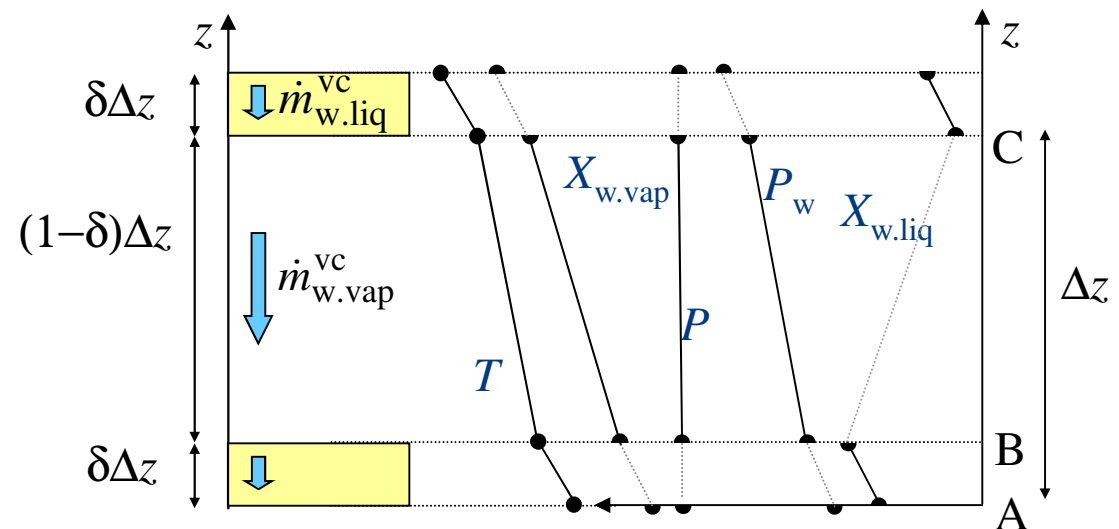


# 1/ Modèle

## 1.2/ Transferts de matière (2)

Porosité fermée : évapo-condensation-diffusion

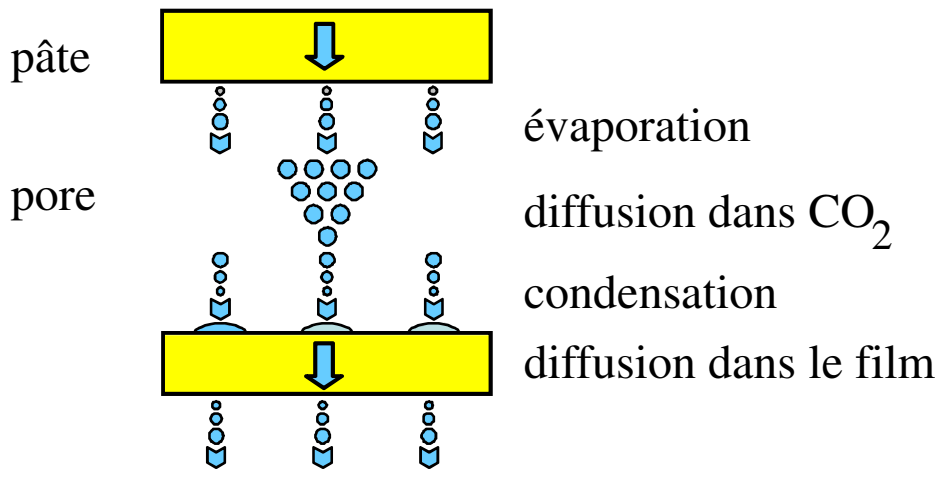
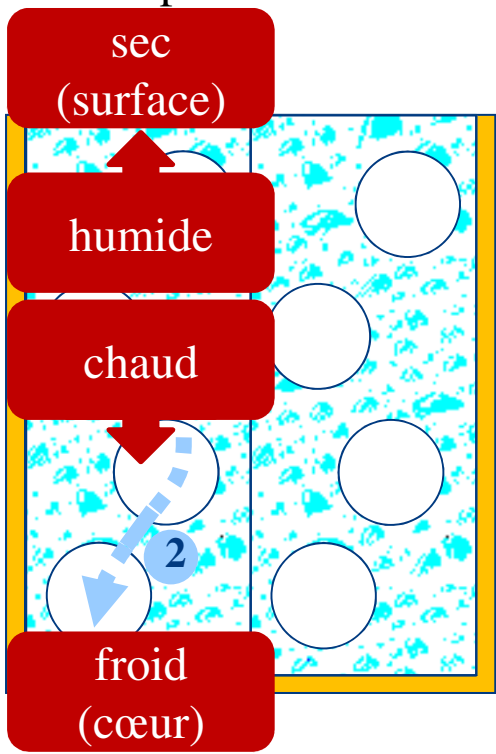
Continuité à l'interface (Point B) :



# 1/ Modèle

## 1.2/ Transferts de matière (2)

### Évapo-condensation



$$\dot{m}_{wv}^{vc} = - \frac{\varepsilon}{(1-\delta) \frac{RT}{M_w} \frac{1-X_{w,vap}}{D_{vap}} + \delta \left( \frac{1}{\rho_{w,liq} D_{liq}} \frac{\partial P_v}{\partial X_{w,liq}} + \frac{L_w}{\lambda} \frac{\partial P_v}{\partial T} \right)} \vec{\nabla} P_{wv}$$

pore
film

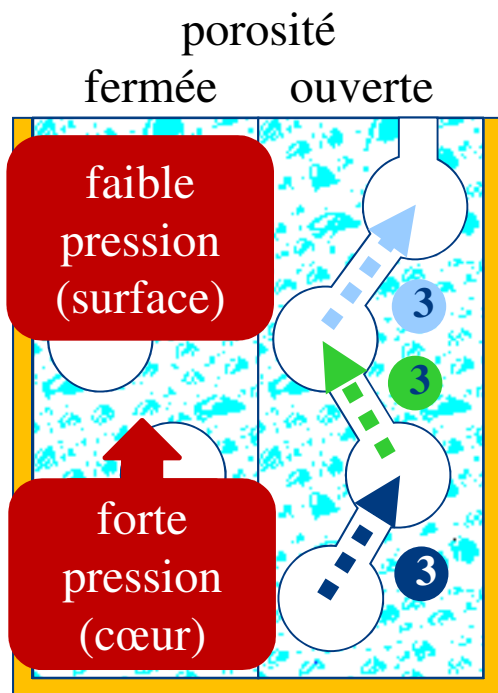
2



# 1/ Modèle

## 1.2/ Transferts de matière (3)

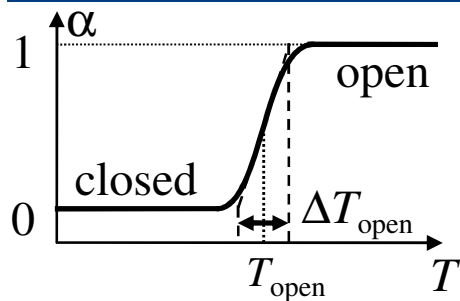
Ouverture des pores et flux Darcien et diffusifs



$$\vec{m}_{wv} = \alpha \left( -\omega_{wv} \frac{K_g}{v_g} \vec{\nabla} P - \rho_g^i D^{eff} \vec{\nabla} \omega_{wv} \right) - (1-\alpha) A_{wvvc} \vec{\nabla} P_{wv} \quad \text{3}$$

$$\vec{m}_{cv} = \alpha \left( -\omega_{cv} \frac{K_g}{v_g} \vec{\nabla} P - \rho_g^i D^{eff} \vec{\nabla} \omega_{cv} \right) \quad \text{3}$$

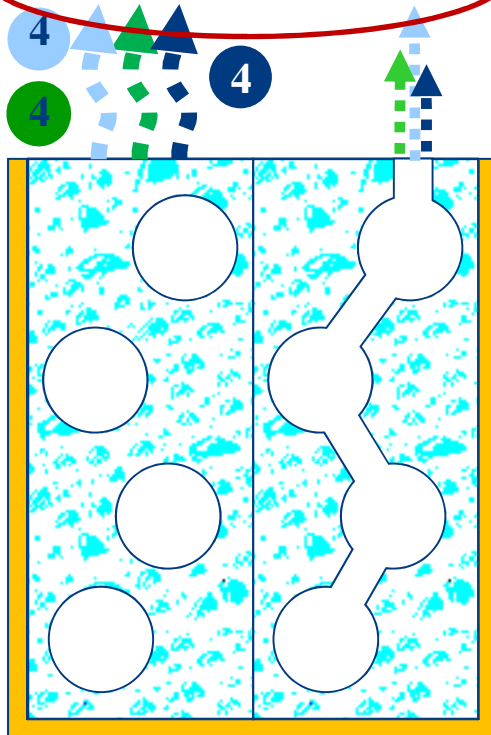
$$\vec{m}_a = \alpha \left( -\omega_a \frac{K_g}{v_g} \vec{\nabla} P - \rho_g^i D^{eff} \vec{\nabla} \omega_a \right) \quad \text{3}$$



# 1/ Modèle

## 1.2/ Transferts de matière (4)

$$P_{v,oven} \quad P_{c,oven} \quad P_{a,oven} \quad T_{oven}$$



Conditions aux limites :

- surface en contact avec l'ambiance du four

$$\dot{m}_{wv}|_{oven} = k_c \frac{M_w}{R} \left( \frac{P_v}{T} - \frac{P_{v,oven}}{T_{oven}} \right)$$

4

$$\dot{m}_{cv}|_{oven} = k_c \frac{M_c}{R} \left( \frac{P_v}{T} - \frac{P_{c,oven}}{T_{oven}} \right)$$

4

$$\dot{m}_a|_{oven} = k_c \frac{M_a}{R} \left( \frac{P_v}{T} - \frac{P_{a,oven}}{T_{oven}} \right)$$

4

- surface en contact avec le moule

$$\dot{m}_j|_{mould} = 0$$

# 1/ Modèle

## 1.2/ Transferts de chaleur (1)

Flux diffusifs (conduction)

$$\vec{Q} = -\lambda \vec{\nabla} T \quad \text{5}$$

$$\lambda = \lambda_{\text{dgh}} \left( \frac{2\lambda_{\text{dgh}} + \lambda_g - 2\varepsilon_g (\lambda_{\text{dgh}} - \lambda_g)}{2\lambda_{\text{dgh}} + \lambda_g - \varepsilon_g (\lambda_{\text{dgh}} - \lambda_g)} \right) \quad \text{(Maxwell)}$$

$$\lambda_{\text{dgh}} = \lambda_s \frac{\varepsilon_s}{\varepsilon_s + \varepsilon_l} + \lambda_l \frac{\varepsilon_l}{\varepsilon_s + \varepsilon_l}$$

$$\lambda_s = 0.20141 + 1.3874 \cdot 10^{-3} (T - 273.15) + 4.3312 \cdot 10^{-6} (T - 273.15)^2$$

$$\lambda_g = \omega_{cv} \lambda_{cv} + \omega_a \lambda_a + \omega_{wv} \lambda_{wv}$$

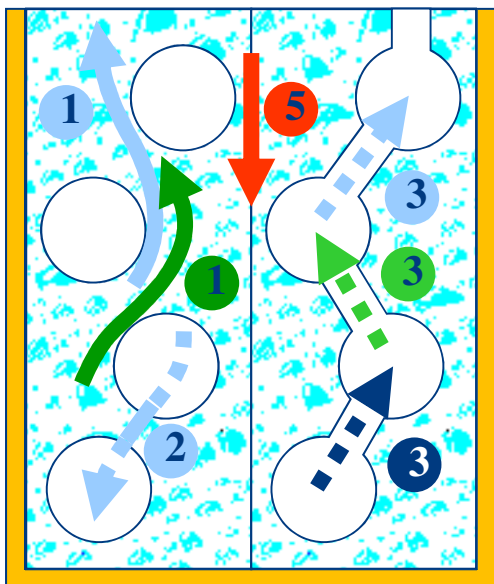
Flux convectifs

$$\vec{H} = \vec{m}_{wl} c_{p;wl} (T - T_{ref}) + \vec{m}_{cl} c_{p;cl} (T - T_{ref}) \quad \text{1} \quad \text{1}$$

$$+ \vec{m}_{wv} (c_{p;wv} (T - T_{ref}) + L_w) \quad \text{2} \quad \text{3}$$

$$+ \vec{m}_{cv} (c_{p;cv} (T - T_{ref}) + L_{CO_2}) \quad \text{3}$$

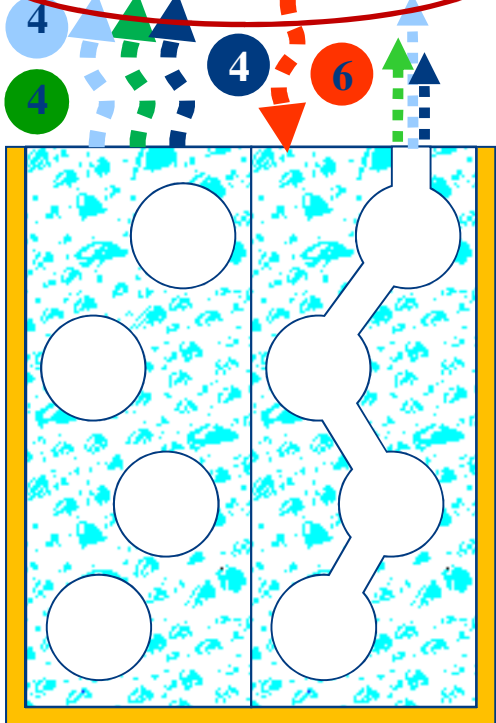
$$+ \vec{m}_a c_{p;a} (T - T_{ref}) \quad \text{3}$$





# 1/ Modèle

## 1.2/ Transferts de chaleur (2)



Conditions aux limites :

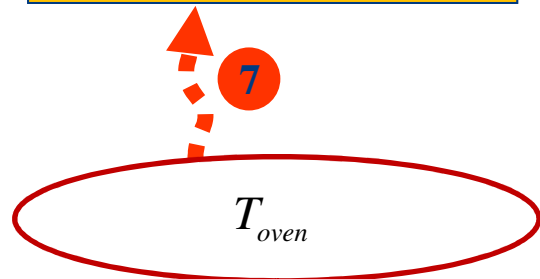
- surface en contact avec l'ambiance du four

$$\dot{H}|_{oven} = h_{surf} (T_s - T_{oven}) + \sigma (T_s^4 - T_{oven}^4) \quad \text{6}$$

$$\dot{H}_j|_{oven} = \dot{m}_j|_{oven} (c_{p;j} (T_s - T_{ref}) + L_j) \quad \text{4 4 4}$$

- surface en contact avec le moule

$$\dot{H}|_{mould} = h_{mould} (T_{oven} - T_{mould}) \quad \text{7}$$



# 1/ Modèle

## 1.3/ Équations de conservation de la masse et de l'énergie

- eau

$$\frac{\partial(\rho_{wl}^a + \rho_{wv}^a)}{\partial t} + \vec{\nabla} \cdot (\vec{m}_{wl} + \vec{m}_{wv} + (\rho_{wl}^a + \rho_{wv}^a) \vec{u}) = 0$$

- dioxyde de carbone

$$\frac{\partial(\rho_{cl}^a + \rho_{cv}^a)}{\partial t} + \vec{\nabla} \cdot (\vec{m}_{cl} + \vec{m}_{cv} + (\rho_{cl}^a + \rho_{cv}^a) \vec{u}) = I_{CO_2}$$

- air

$$\frac{\partial \rho_a^a}{\partial t} + \vec{\nabla} \cdot (\vec{m}_a + \rho_a^a \vec{u}) = 0$$

- énergie

$$\frac{\partial \hat{H}}{\partial t} + \vec{\nabla} \cdot (\vec{Q} + \vec{H} + \hat{H} \vec{u}) = 0$$



# 1/ Modèle

## 1.4/ Comportement mécanique (1)

- conservation de la matière sèche

$$\frac{\partial \rho_s^a}{\partial t} + \vec{\nabla} \cdot (\rho_s^a \vec{u}) = 0$$

- conservation de la quantité de mouvement

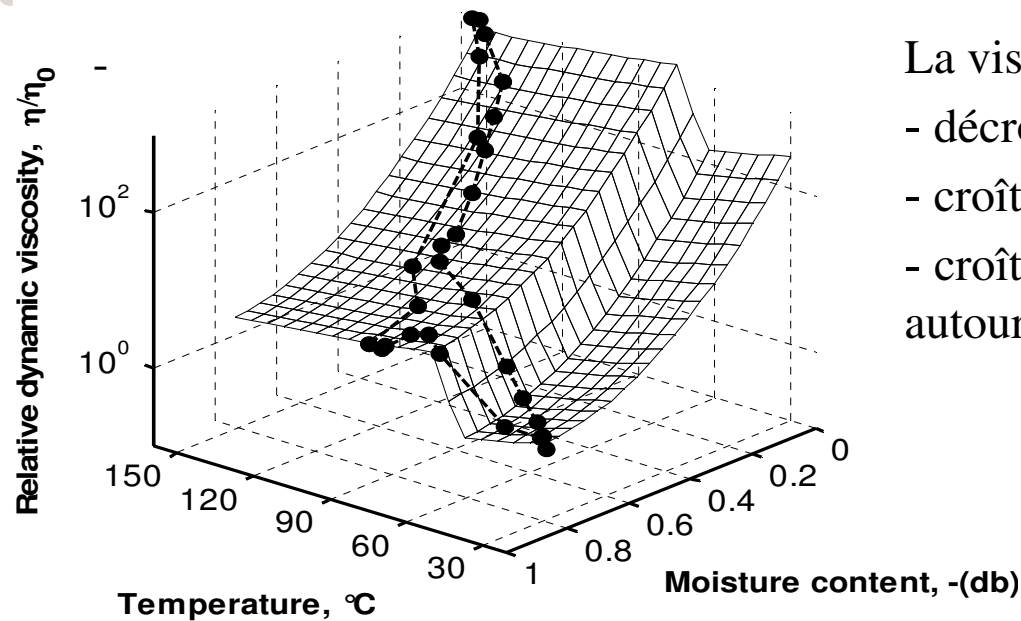
$$\frac{\partial (\rho \vec{u})}{\partial t} + \vec{\nabla} \cdot (\bar{\tau} + (P - P_{atm}) \bar{I} + \rho \vec{u} \vec{u} + \bar{\sigma}_{sh}) = \rho \vec{g} \quad P = P_{wv} + P_{cv} + P_a$$

La pâte est considérée comme un fluide visqueux :

$$\bar{\tau} = \eta(T_{\max}, X_{wl}) \left( -(\vec{\nabla} \vec{u} + \vec{\nabla} \vec{u}^t) + \frac{2}{3} (\vec{\nabla} \cdot \vec{u}) \bar{I} \right)$$

# 1/ Modèle

## 1.4/ Comportement mécanique (2)



La viscosité :

- décroît avec la température
- croît avec le séchage (x100)
- croît avec la gélatinisation (x10) autour de  $65^{\circ}\text{C}$ .

$$\eta = \eta_{ref} 10^{(G_T + G_{Xwl})}$$

$$G_T = 247.8 \left( \frac{1}{T_{max} - 140} - \frac{1}{T_{ref} - 140} \right) + p_3 (\beta(T_{max}) - \beta(T_{ref}))$$

$$G_{Xwl} = -p_1 (X_{wl} - X_{wl;ref}) + p_2 (X_{wl} - X_{wl;ref})^2$$

Results from:

Vanin, F.M., Michon, C., Trystram, G., & Lucas, T. (2010). Simulating the formation of bread crust in the rheometer. *Journal of Cereal Science*. 51: 277-283.

Vanin, F. M., Michon, C., & Lucas, T. (2013). Effect of the drying rate on the complex viscosity of wheat flour dough transforming into crust and crumb during baking. *Food Research International*. 58(2): 290-297

# 1/ Modèle

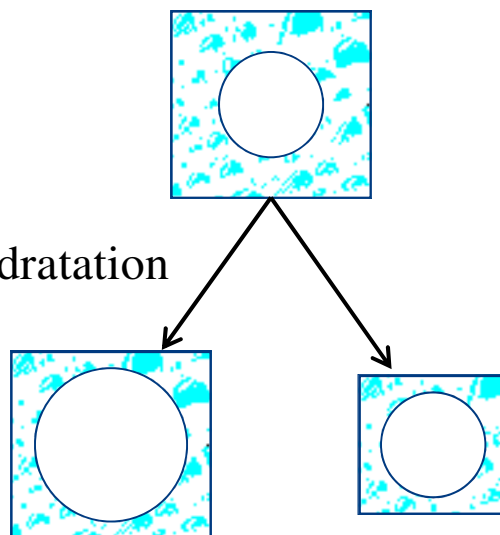
## 1.4/ Comportement mécanique (4)

Retrait hydrique

$$\frac{\partial(\rho\vec{u})}{\partial t} + \vec{\nabla} \cdot (\vec{\tau} + (P - P_{atm})\vec{I} + \rho\vec{u}\vec{u} + \vec{\sigma}_{sh}) = \rho\vec{g}$$

déshydratation

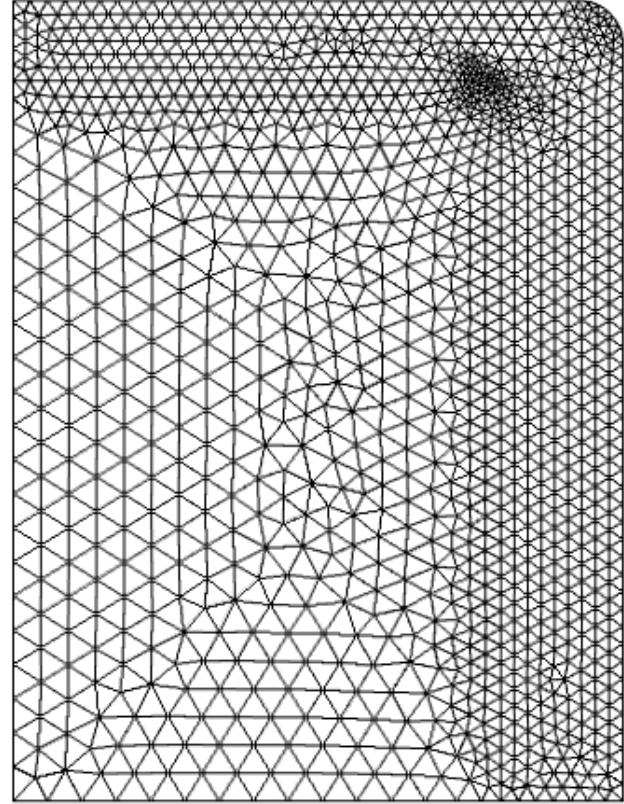
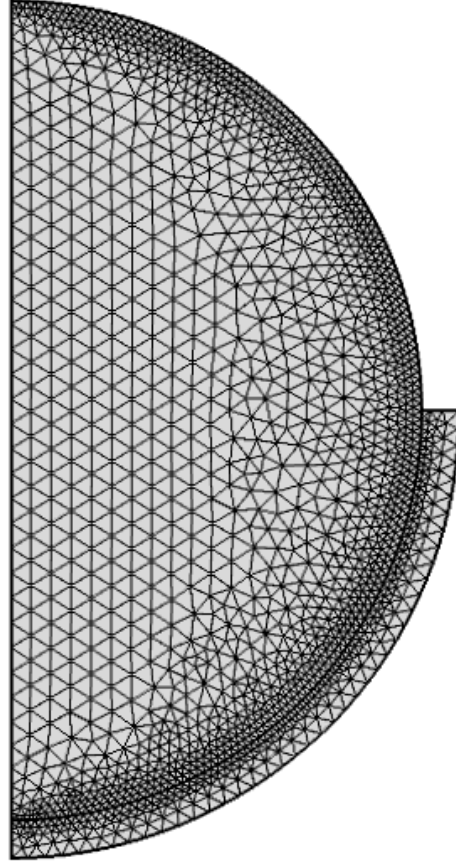
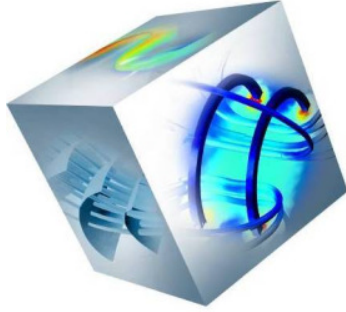
$$\vec{\sigma}_{sh} = 0 \vec{I}$$



$$\vec{\sigma}_{sh} = \frac{1}{3} \eta \epsilon_s \frac{\rho_s^i}{\rho_{wl}^i} \frac{\partial X_{wl}}{\partial t} \vec{I}$$

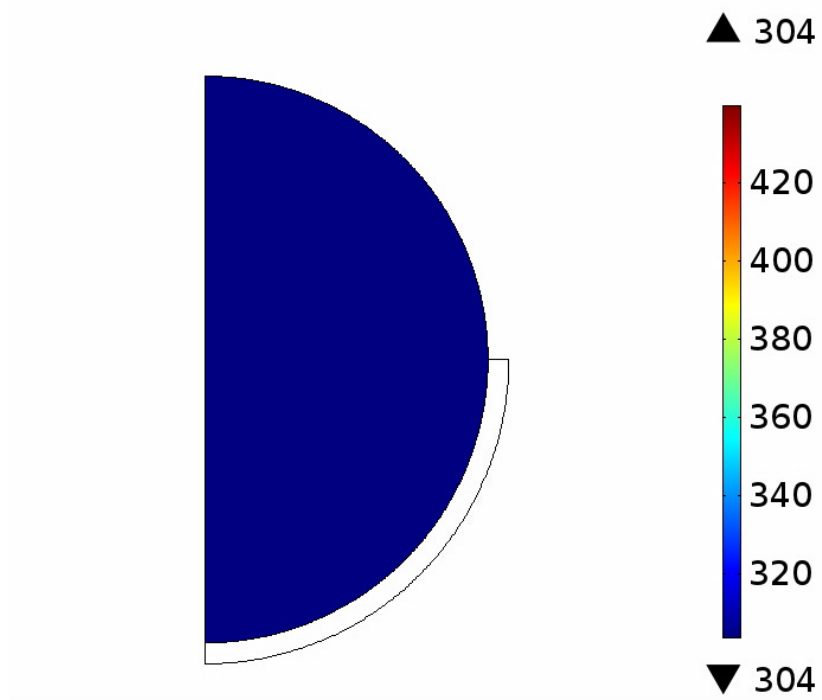
# 1/ Modèle

## 1.5/ Simulation (1)

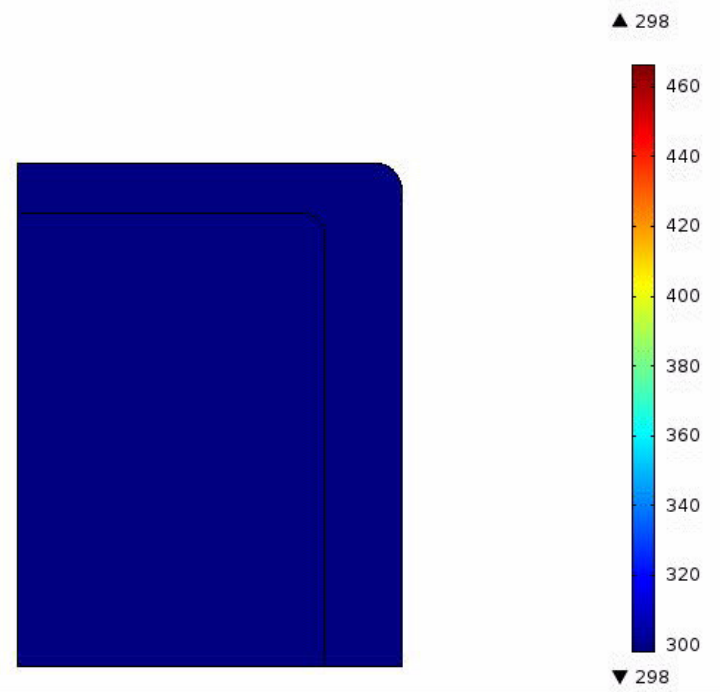


# 1/ Modèle

## 1.5/ Simulation (2)

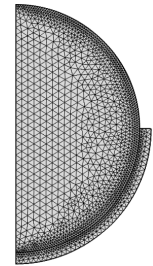


Température



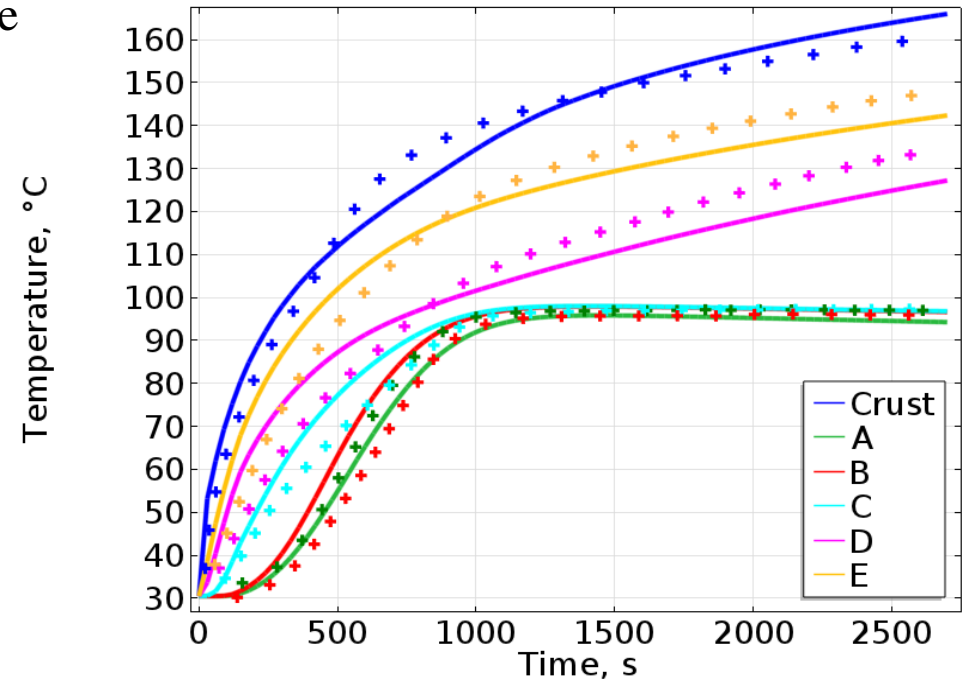
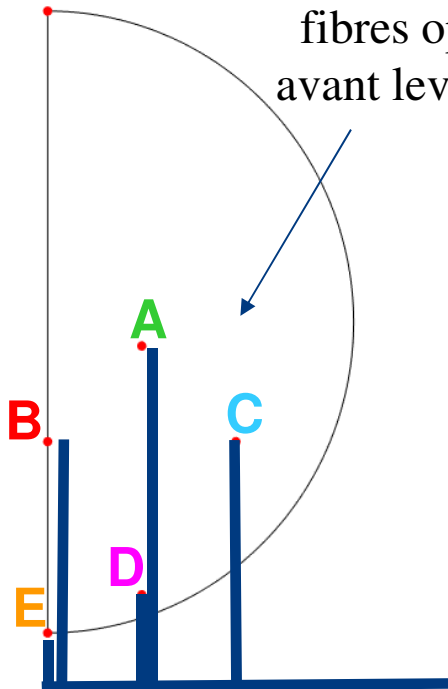
# 2/ Validation expérimentale

## 2.1/ Température



croûte

fibres optiques fixes  
avant levage de la pâte

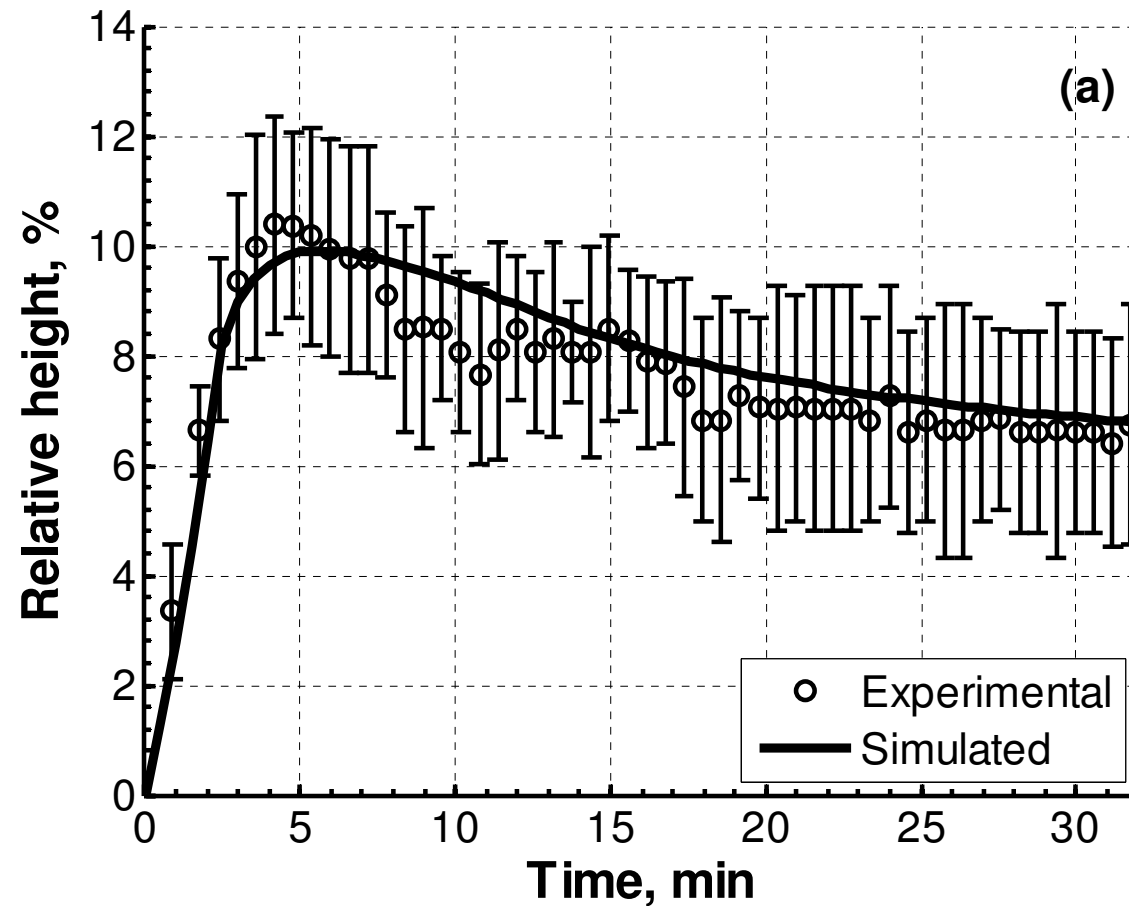
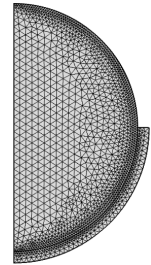


Results from:  
Nicolas, V., Vanin, F., Doursat, C., Grenier, D., Lucas, T., Flick, D., 2014. Modelling bread baking with focus on global and local deformation. Submitted to AIChE J.



## 2/ Validation expérimentale

### 2.2/ Expansion : hauteur du produit (1)

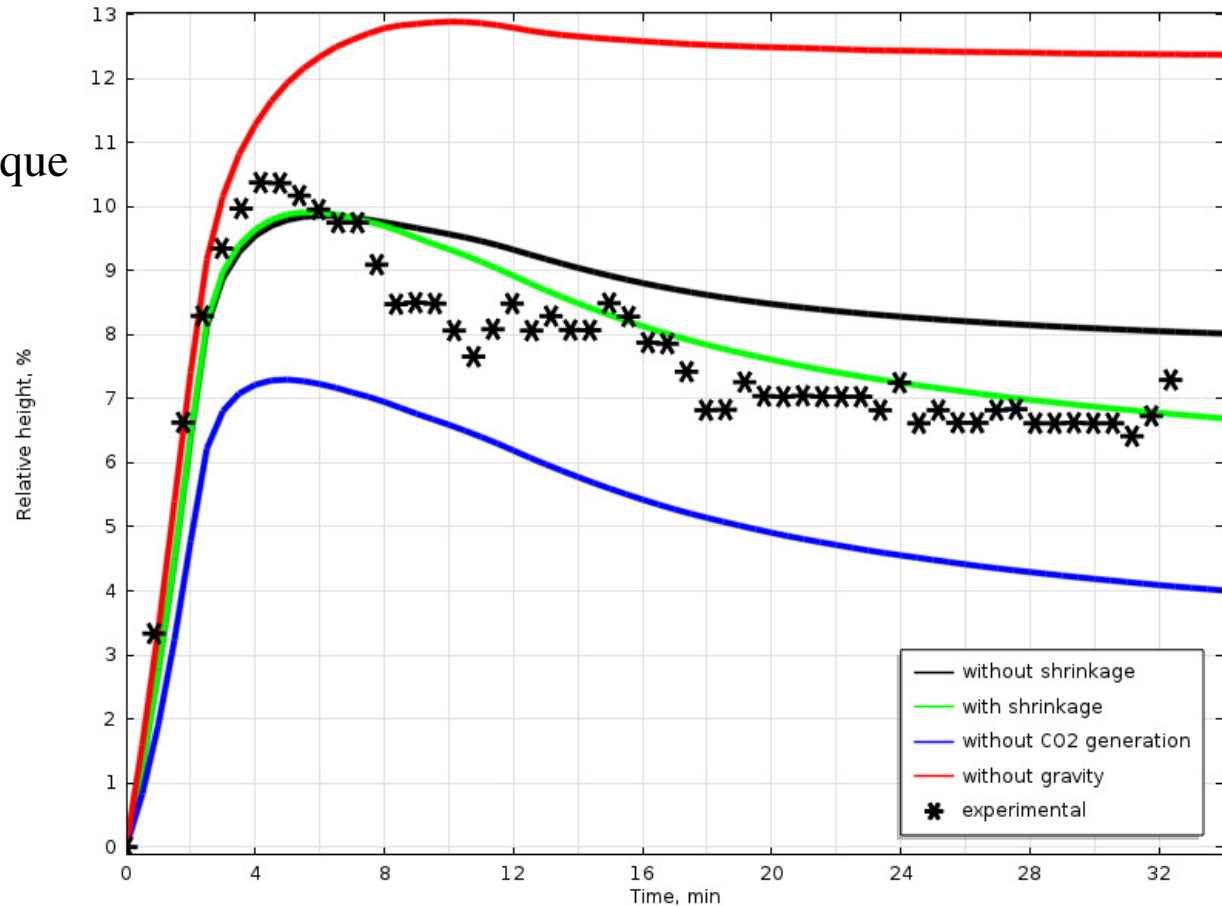
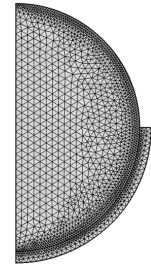


## 2/ Validation expérimentale

### 2.2/ Expansion : hauteur du produit (2)

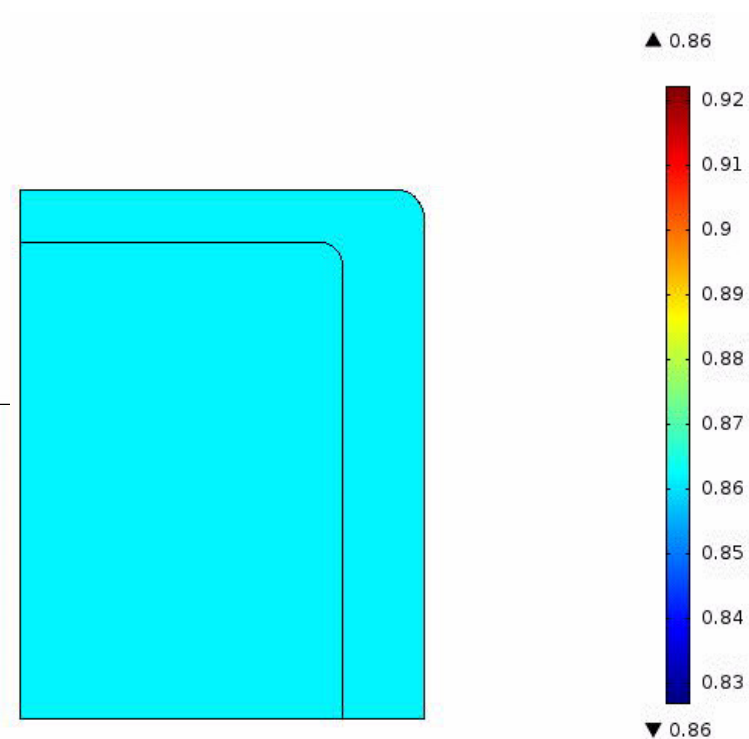
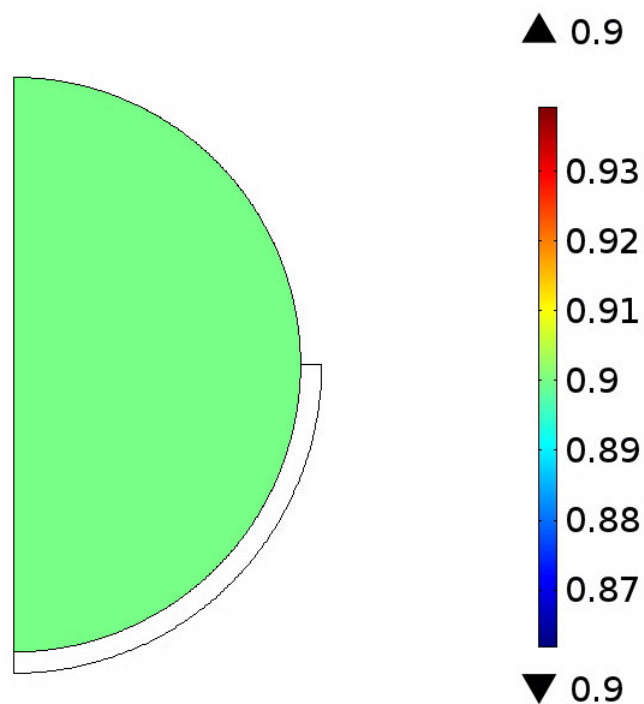
Il est nécessaire de prendre en compte :

- la production de CO<sub>2</sub>
- la gravité
- le retrait hydrique
- le changement de comportement mécanique



## 2/ Validation expérimentale

### 2.2/ Expansion : expansion locale (1)



## 2/ Validation expérimentale

### 2.2/ Expansion : expansion locale (2)

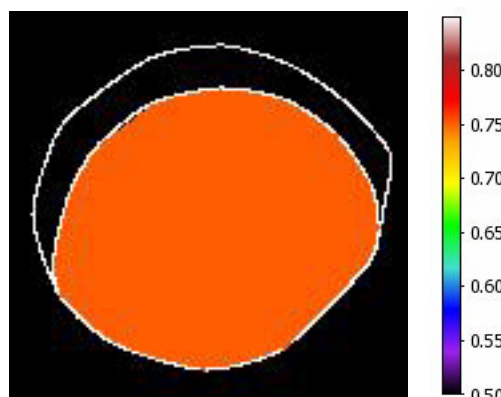
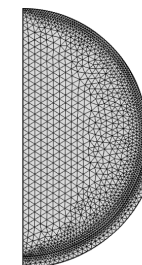
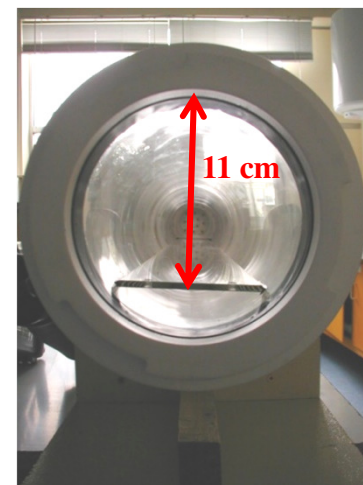
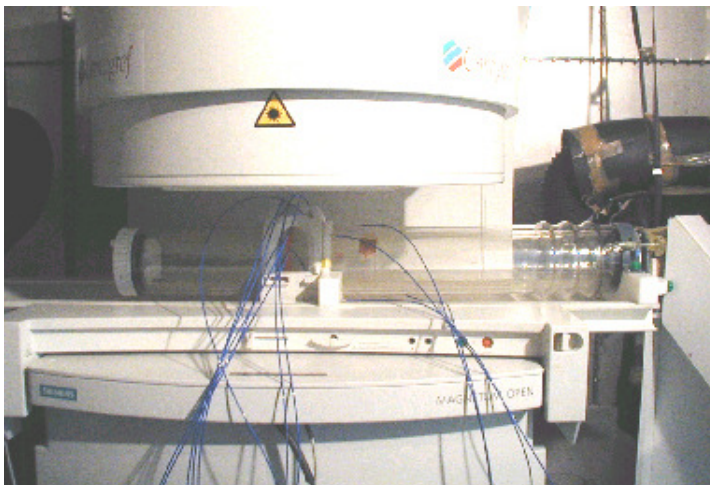


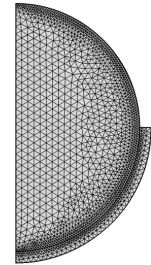
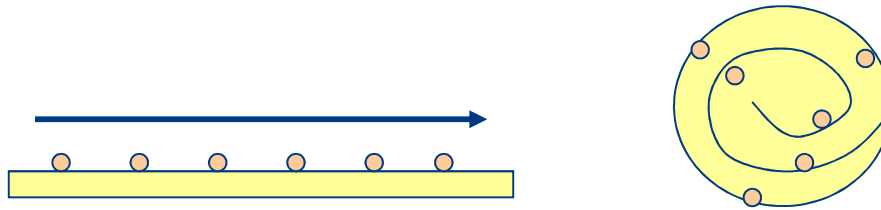
image IRM traitée  
calcul de la fraction de gaz

Results from: Wagner, M.J. ; Loubat, M. ; Sommier, A. ; Le Ray, D. ; Collewet, G. ; Broyart, B. ; Quintard, H. ; Davenel, A. ; Trystram, G. ; Lucas, T. **2008**. MRI study of bread baking: experimental device and MRI signal analysis. *Int. J. Food Sci. Technol.* 22: 331-339  
Wagner, M. ; Quellec, S. ; Trystram, G. ; Lucas, T. **2008**. MRI evaluation of local expansion in bread crumb during baking. *J. Cereal Sci.* 27(4): 577-585

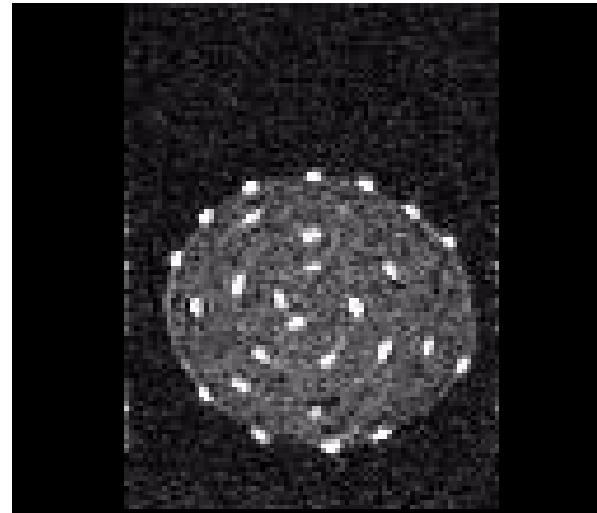
## 2/ Validation expérimentale

### 2.2/ Expansion : expansion locale (3)

Insertion des microcapsules le long de la ligne de façonnage



Coupe virtuelle en IRM avec microcapsules surbrillantes



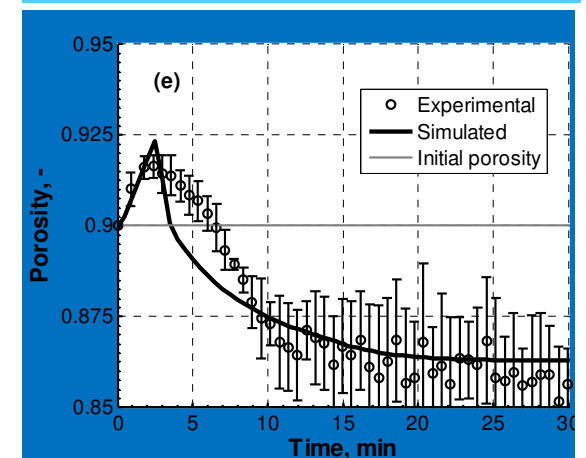
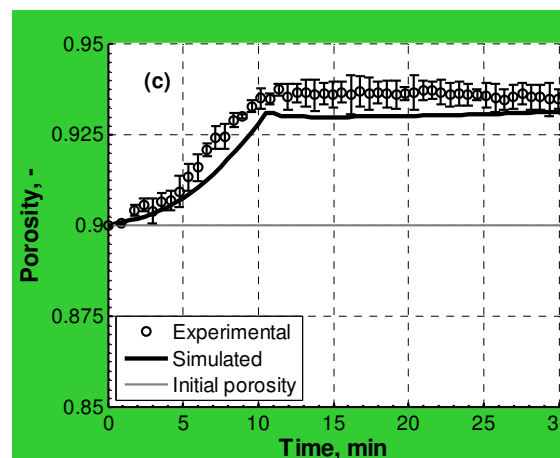
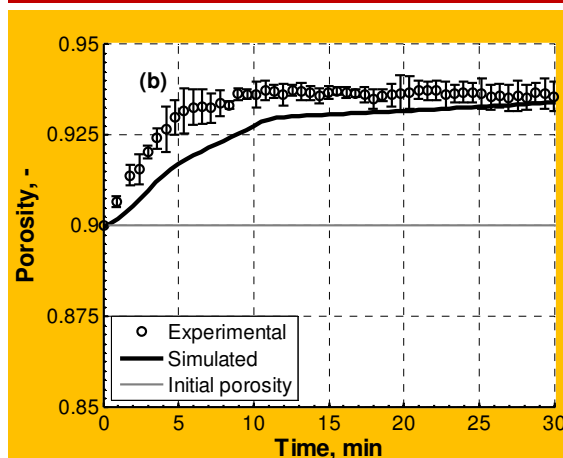
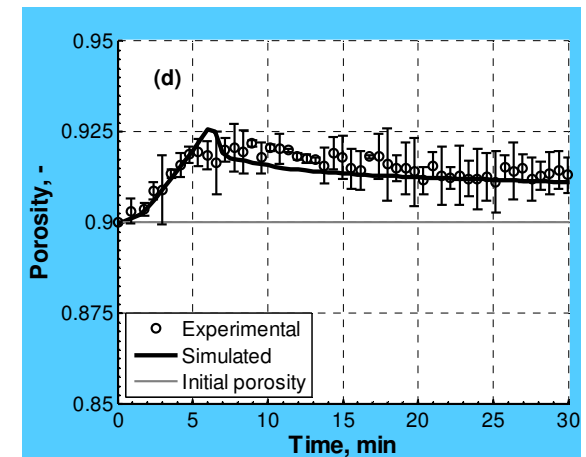
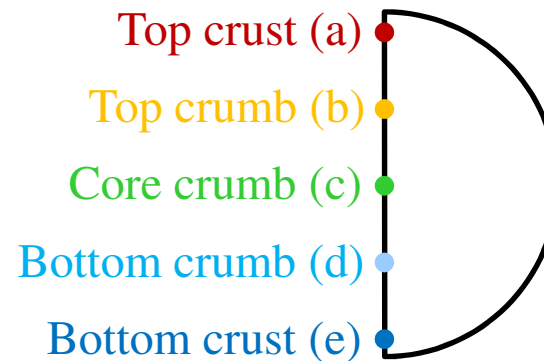
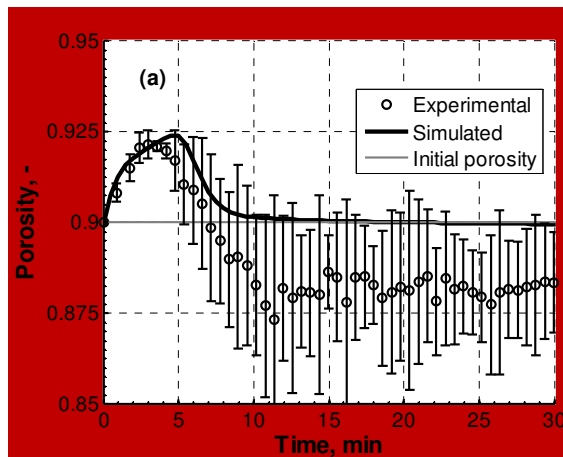
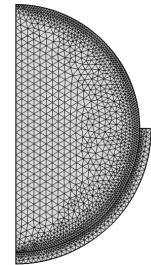
$$\varepsilon(t) = 1 - \frac{(1 - \varepsilon(t_0))}{\frac{S(t)}{S(t_0)}}$$

Results from: Wagner, M.J. ; Loubat, M. ; Sommier, A. ; Le Ray, D. ; Collewet, G. ; Broyart, B. ; Quintard, H. ; Davenel, A. ; Trystram, G. ; Lucas, T. **2008**. MRI study of bread baking: experimental device and MRI signal analysis. **Int. J. Food Sci. Technol.** 22: 331-339  
Wagner, M. ; Quellec, S. ; Trystram, G. ; Lucas, T. **2008**. MRI evaluation of local expansion in bread crumb during baking. **J. Cereal Sci.** 27(4): 577-585

## 2/ Validation expérimentale

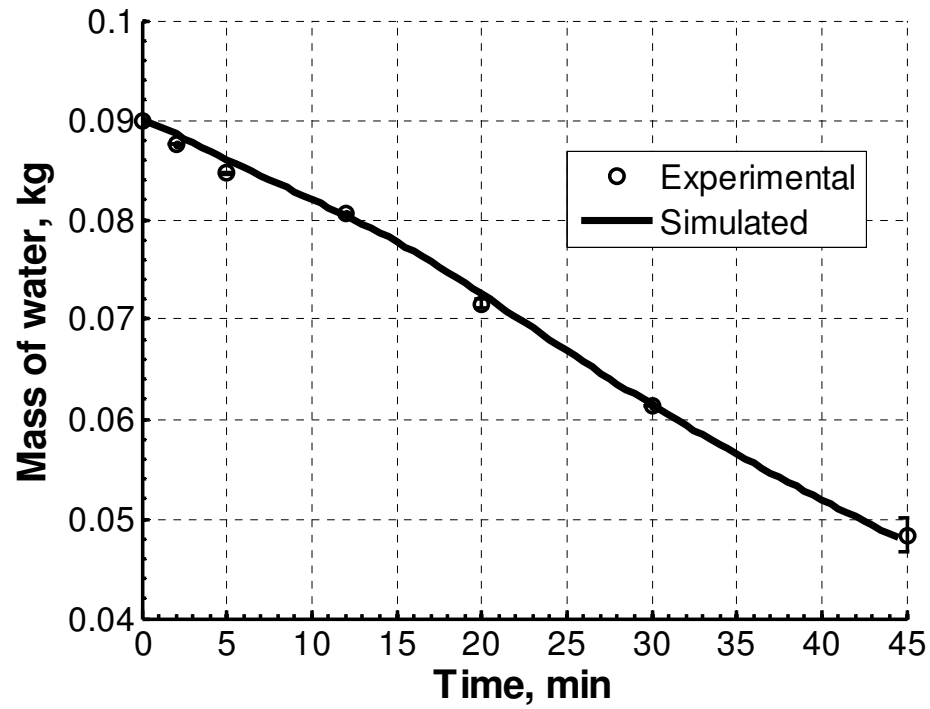
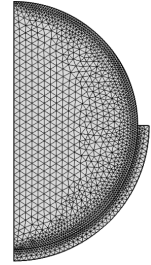
### 2.2/ Expansion : expansion locale (4)

30



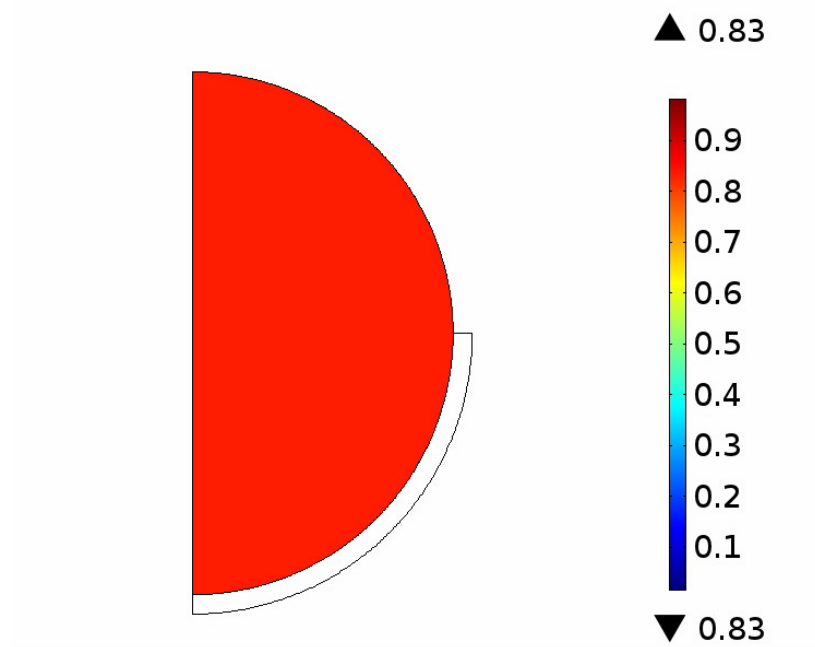
## 2/ Validation expérimentale

### 2.3/ Teneur en eau : pertes en eau

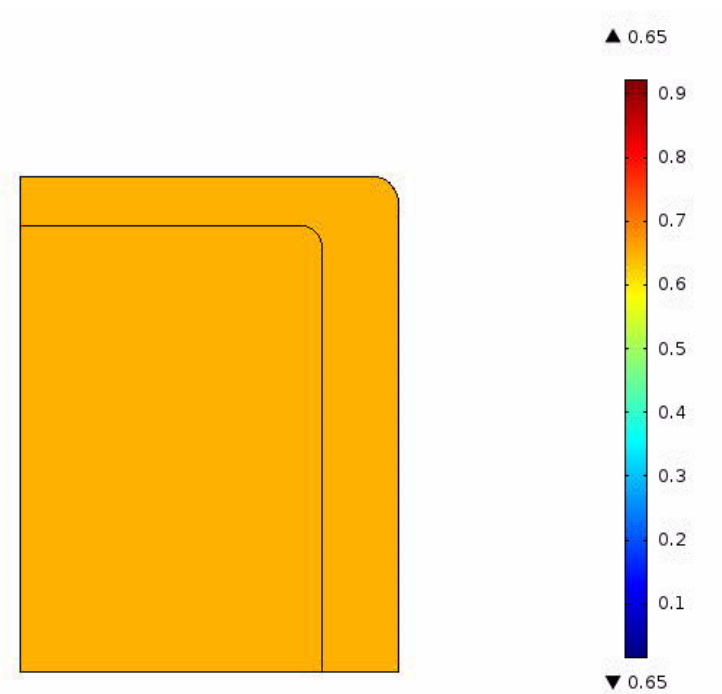


## 2/ Validation expérimentale

### 2.3/ Teneur en eau : profil d'humidité (1)



Teneur en eau



Results from:

Nicolas, V., Vanin, F., Doursat, C., Grenier, D., Lucas, T., Flick, D., 2014. Modelling bread baking with focus on global and local deformation. AIChE J.

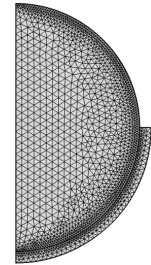
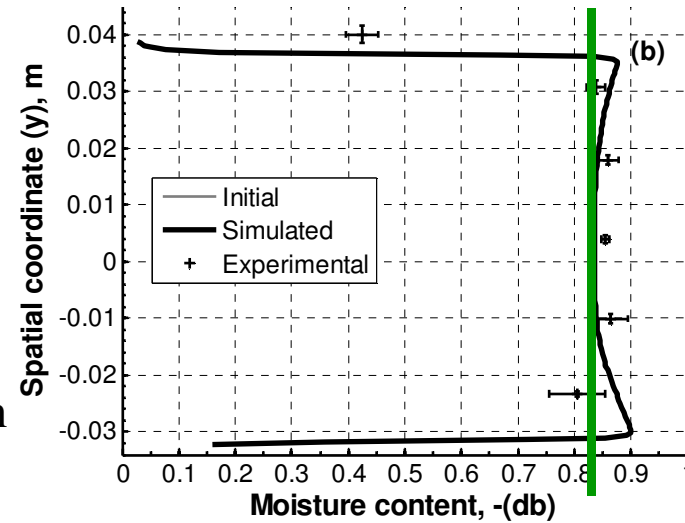


## 2/ Validation expérimentale

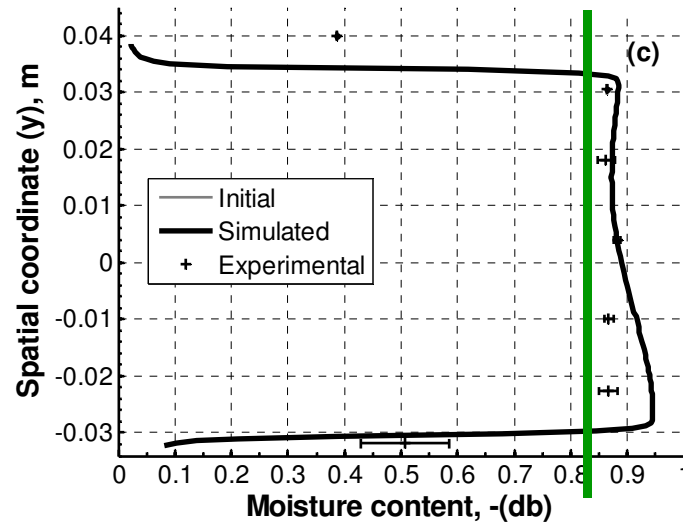
### 2.4/ Teneur en eau : profil d'humidité (2)



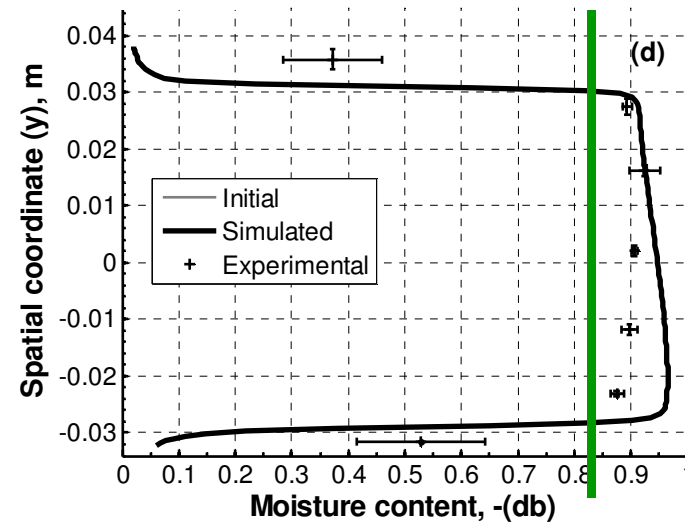
5 min



12 min

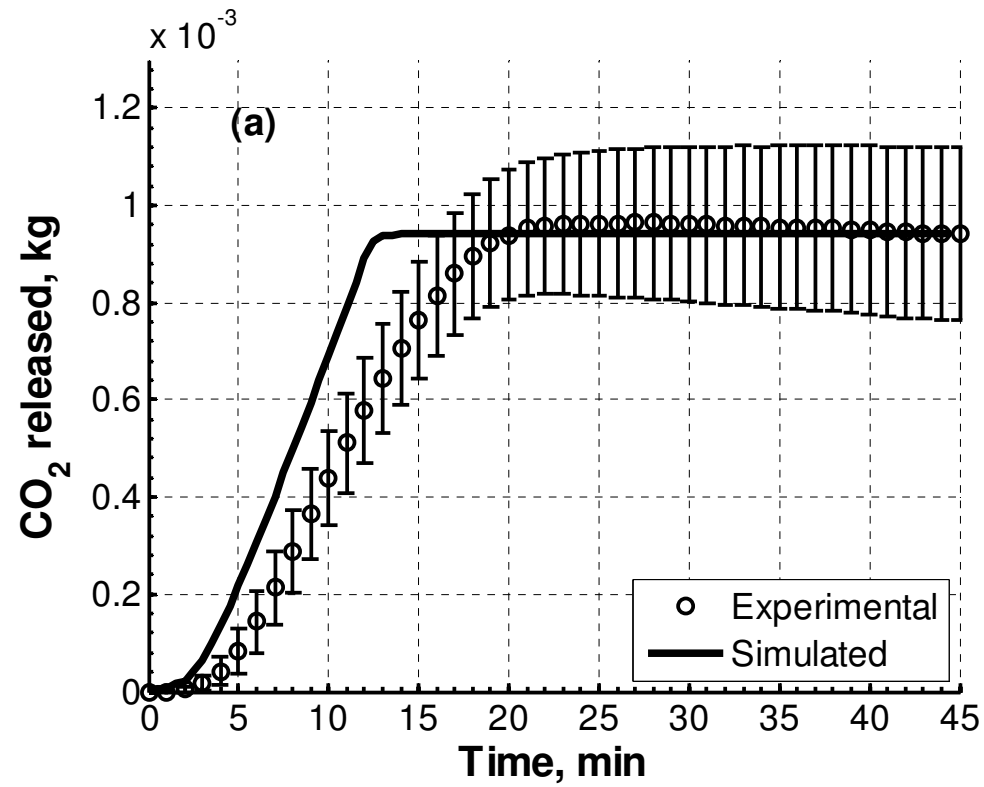
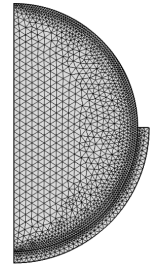


20 min



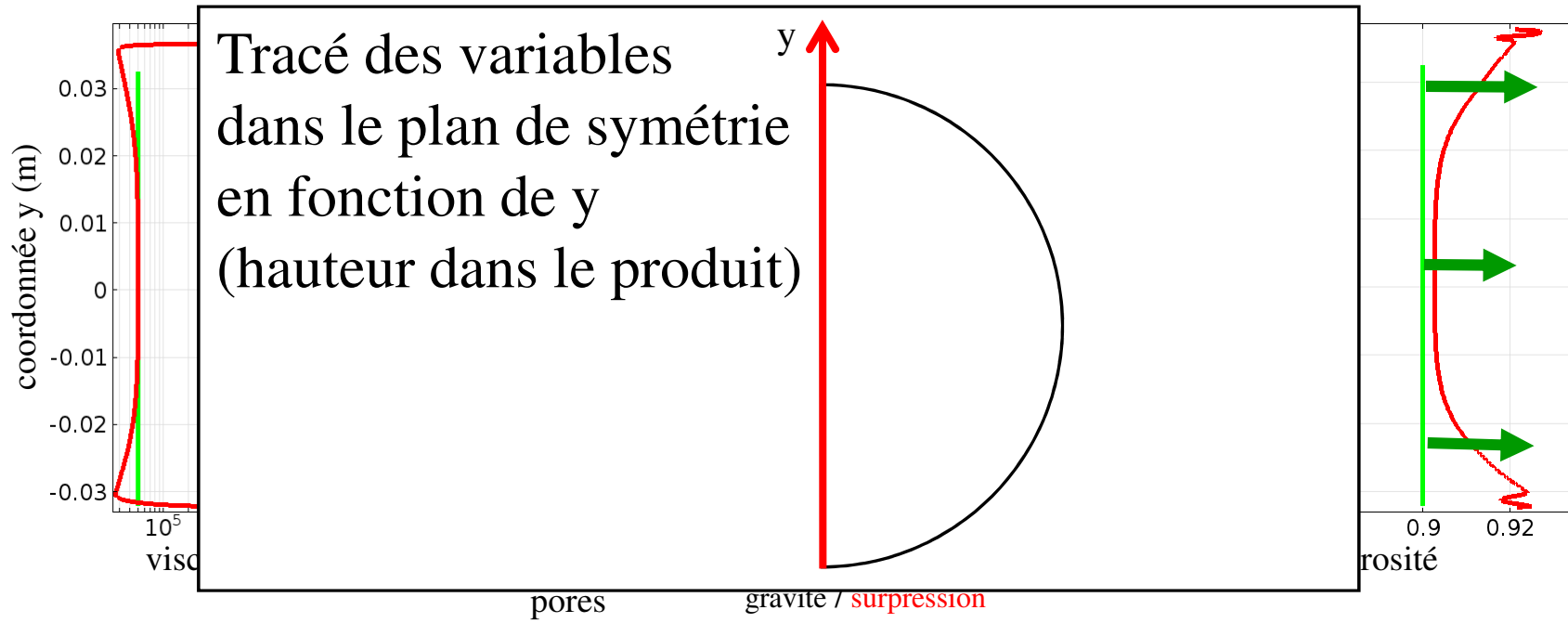
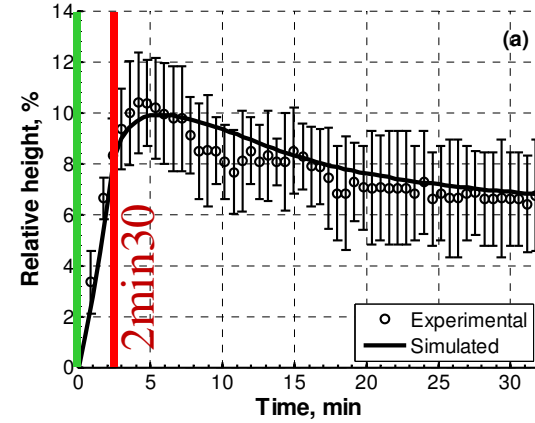
## 2/ Validation expérimentale

### 2.4/ Pertes en CO<sub>2</sub>



# 3/ Interprétations

## 3.1/ Compréhension des phénomènes (1)



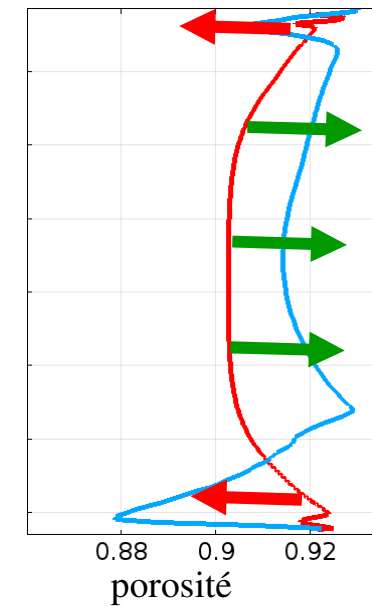
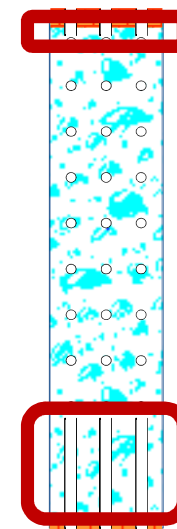
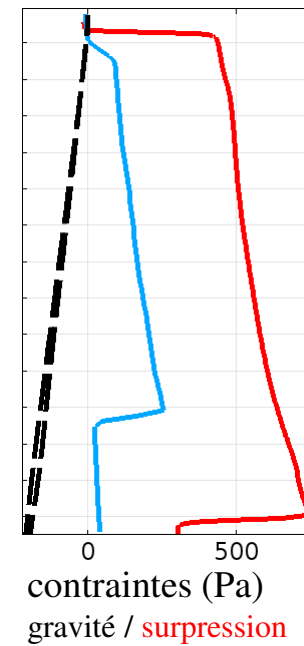
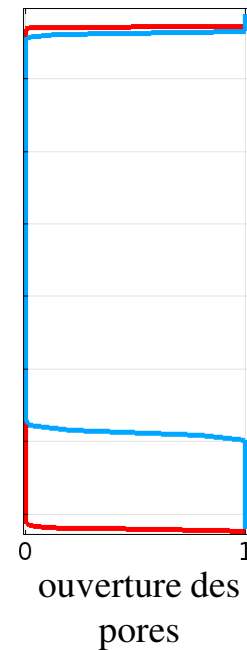
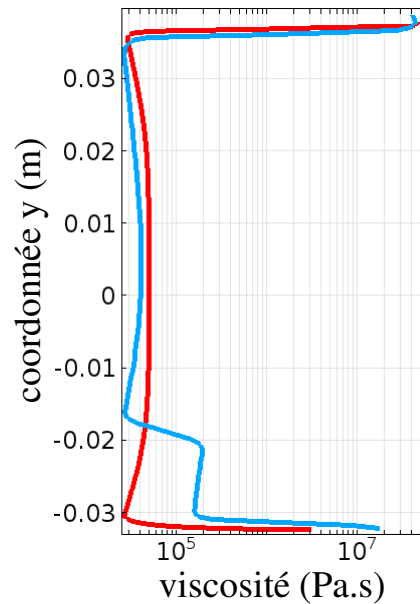
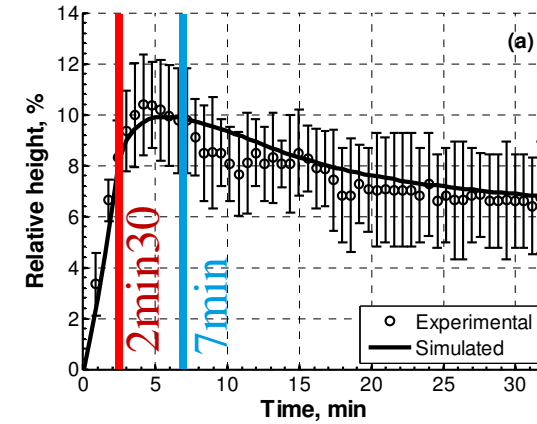
Phase d'expansion :

- porosité fermée
- haute pression
- faible viscosité



## 3/ Interprétations

### 3.1/ Compréhension des phénomènes (2)



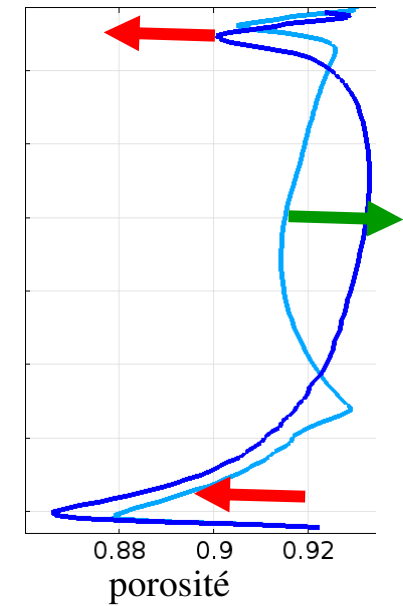
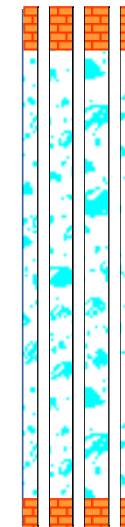
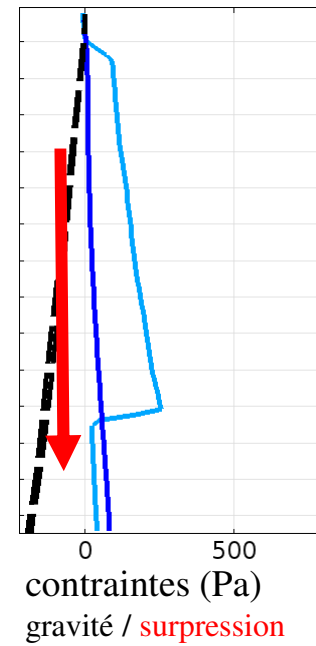
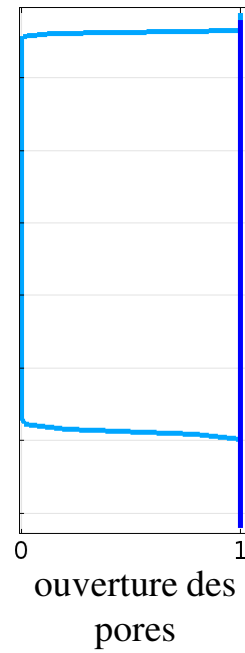
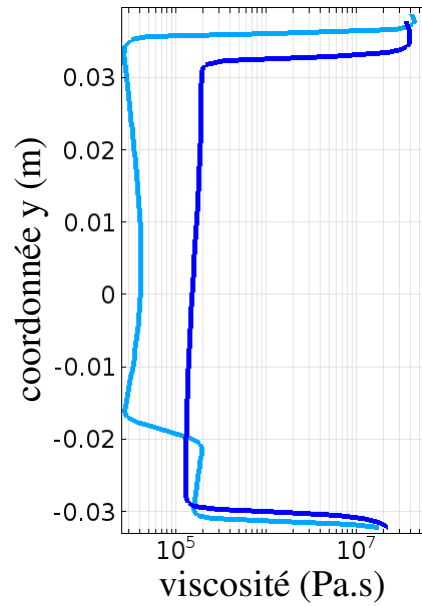
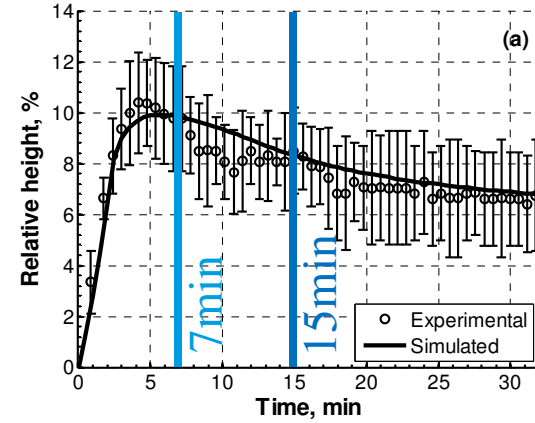
Phase de compression/expansion locale :

- phénomène de compression entre zones de surpression (cœur) et de haute viscosité (croûte)
- compression des zones de porosité ouverte mais encore liquide
- effet de la gravité



# 3/ Interprétations

## 3.1/ Compréhension des phénomènes (3)



La hauteur du produit diminue :

- porosité ouverte
- effet de la gravité et du retrait hydrique

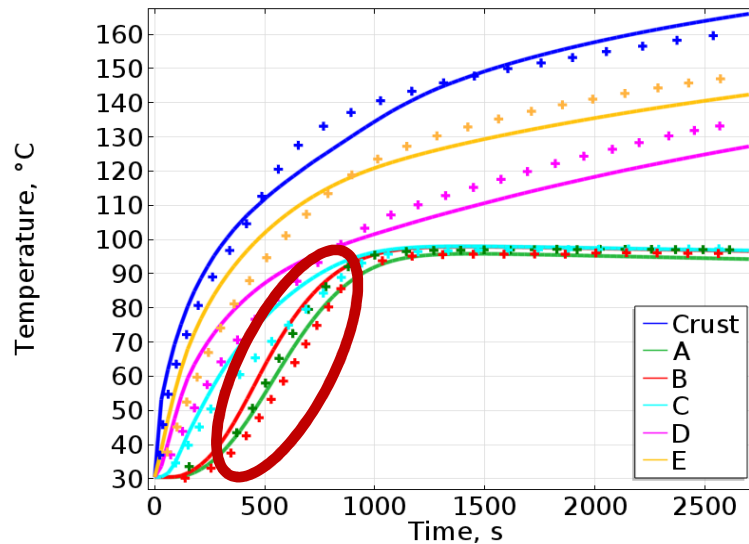


## 3/ Interprétations

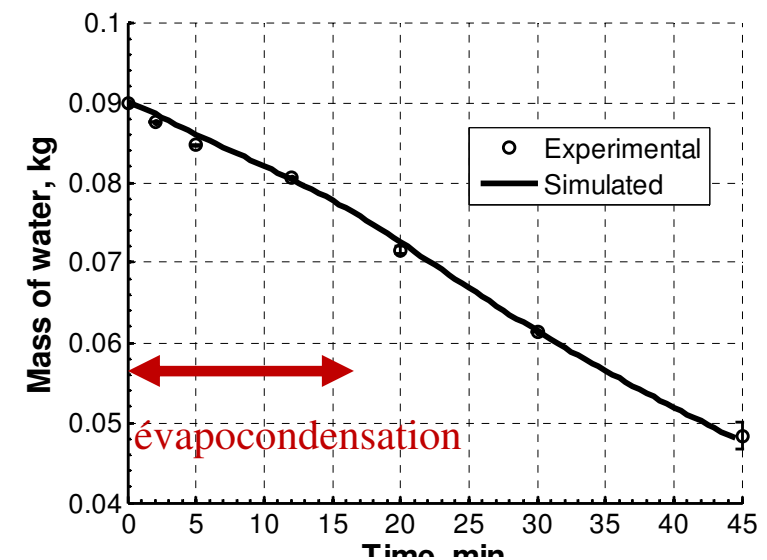
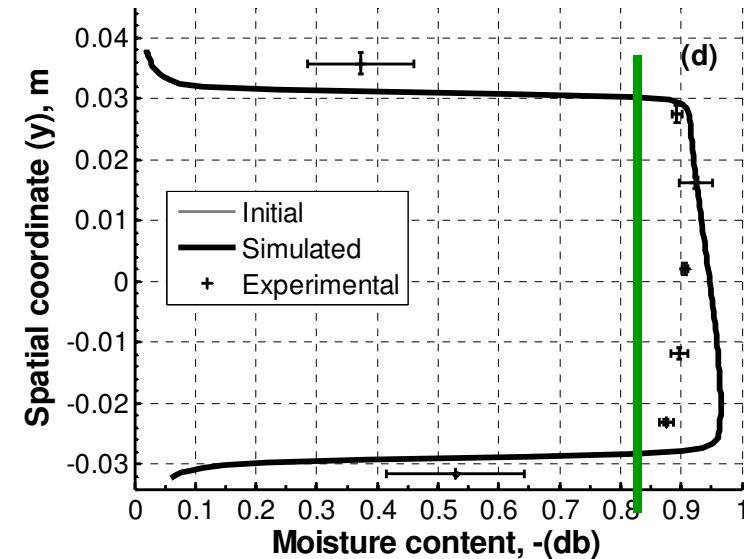
### 3.2/ Rôle de l'évapo-condensation (1)

Il est nécessaire de prendre en compte :

- l'évapocondensation

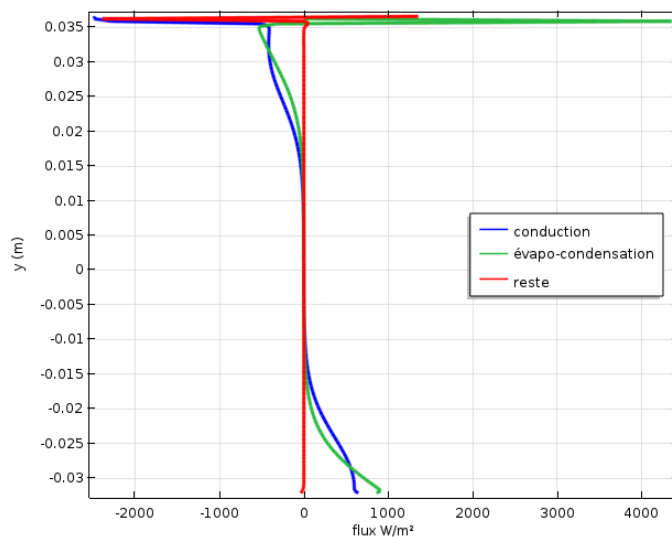


- enrichissement en eau à cœur
- montée en température plus rapide à cœur
- perte en masse plus rapide sans évapocondensation



## 3/ Interprétations

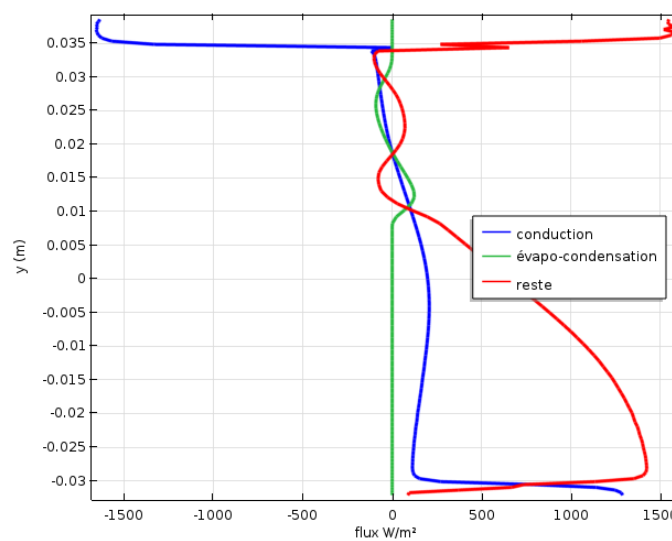
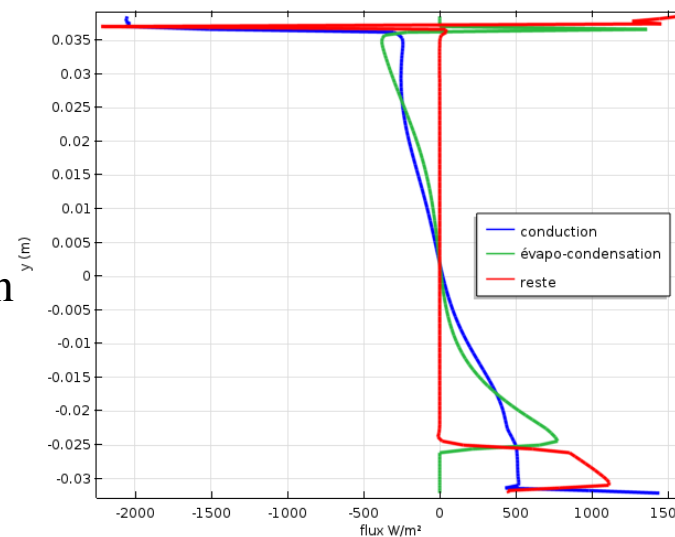
### 3.2/ Rôle de l'évapo-condensation (2)



t = 2 min

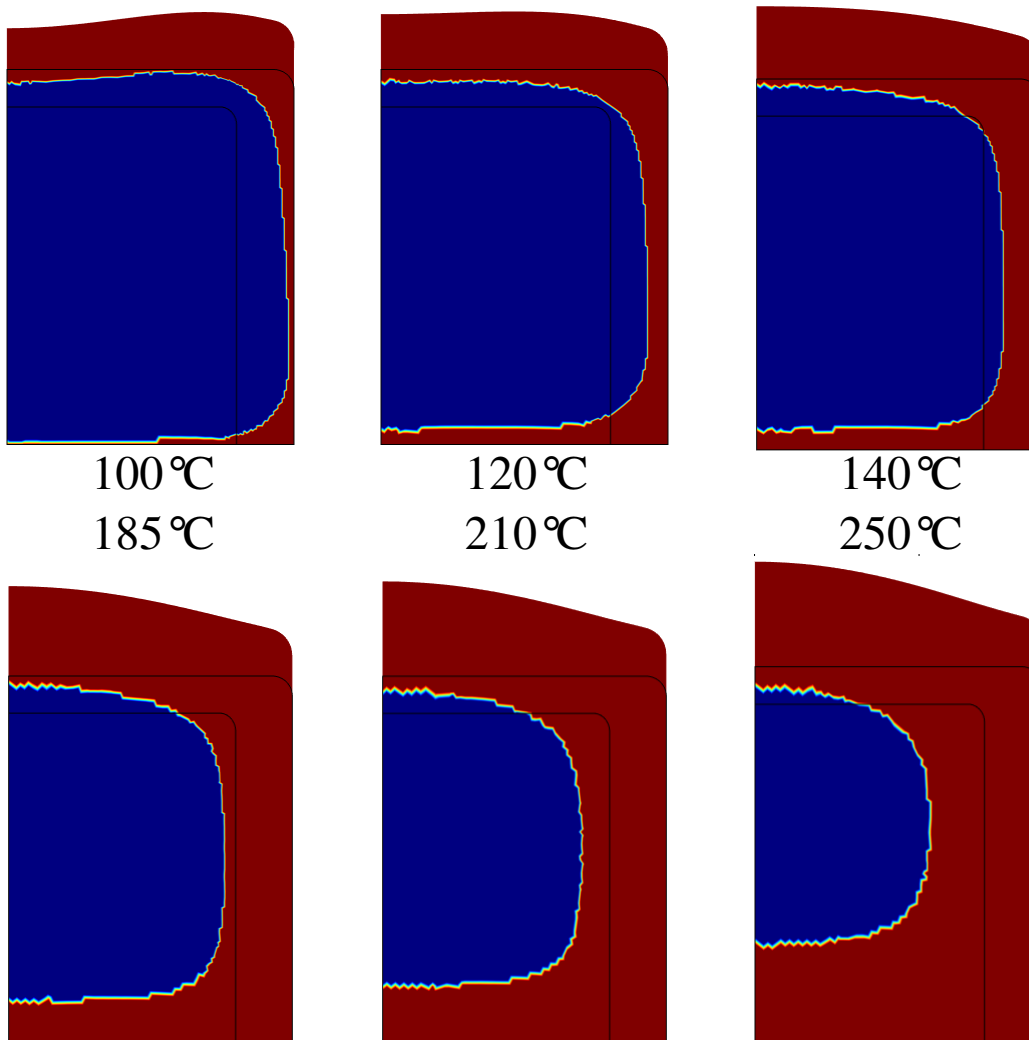
t = 5 min

t = 12 min



## 3/ Interprétations

### 3.3/ Changement des conditions de cuisson



Teneur en eau en fin de cuisson (45 min)  
 $X_{wl} < 0.2 \text{ kg.kg}^{-1}$  en rouge





Merci

